

III-9.3 クリークからの浸透による地下水位変化について

京都大学工学部 正員○宇野尚雄
京都市計画局 正員 西村伊久夫

1. まえがき 地下水位が比較的浅い場合に、地表に設けたクリーク(小川)へ注水することにより周辺の地下水位がどの程度上昇するかについて、その地形(クリークの位置、地下水位こう配など)、クリークの形状、大きさやクリークへの注入量などの諸因子がどう絡んでくるかを研究するのが、本研究の目的である。

2. 理論的考察 いま簡単に浸透領域として図-1(a)のとき半無限均質地盤を考える。AB, GHにはフィルターと設け、それぞれB点、G点以遠では水位一定にして、DE面から給水流量Qを注入している(z-平面)。流れをポテンシャル平面(w-平面)で表わすと図-1(b)である。w-平面は式

$$w = \frac{Qi}{2K} \int_0^z \frac{ds}{\sqrt{(1-s^2)(1-k^2s^2)}} - \kappa H \quad (1)$$

(k:横円積分の母数、κ:地盤の透水係数)によりz-平面に写像される。この場合のZjoukovskyの関数は次のように表わされる。

$$\theta = w - i\kappa z = \alpha z + b = \frac{(a - \kappa b)i}{2} z \quad (2)$$

式(1)と式(2)からzを消去すると、z-平面をw-平面で表わす式を得る。

図-1

$$\frac{z}{l} = -\frac{\omega i}{\kappa l} - \frac{1}{1-\kappa} \frac{1}{\operatorname{sn}\left(\frac{\kappa' w}{\kappa H}, k\right)} \quad (3)$$

ここに $\operatorname{sn}(u, k)$ は第一種横円積分(Legendre-Jacobiの標準形)の逆関数である。式(3)は一つの流線網を表す。自由水面は $\psi = \frac{\theta}{2} = \frac{\kappa KH}{K'} + \kappa y = 0$ なる条件を式(3)に用いて

$$\frac{x}{l} = \frac{KH}{K'l} + \frac{dn\left(\frac{\kappa' y}{H}, k'\right)}{1-\kappa}, \quad dn^2(u, k) = 1 - k^2 \operatorname{sn}^2(u, k), \quad k'^2 = 1 - k^2 \quad (4)$$

と表わされ、また式(1)と式(2)から $Q = \frac{2\kappa KH}{K'} = \frac{\kappa}{1-\kappa} (B - \kappa l)$ とすれば、形状により決まる k を用いて一例が図-2に描かれている。地表から一定地下水位までの落差を T_0 、クリークの深さを T とすると Q は次式を満たす必要がある。

$$\frac{2\kappa KT_0}{K'} \geq Q \geq \frac{2\kappa K}{K'} (T_0 - T) \quad (5)$$

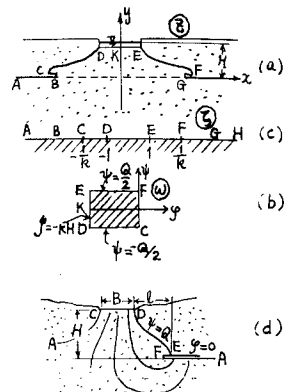
つきに水位を片側が一定にしているときも同様にして条件式 $Q = \kappa(B - \frac{k^2}{k'^2}l) = \frac{\kappa KH}{K'}$ および自由水面の表現式

$$AC \text{ は沿って; } x = -\frac{l}{k'^2} \left\{ \frac{1}{\operatorname{sn}^2(K' \frac{y}{H}, k')} - 1 \right\} \quad (6)$$

$$DE \text{ は沿って; } x = \frac{K}{K'} H + \frac{l}{k'^2} dn^2(K' \frac{y}{H}, k') \quad (7)$$

を得る(図-1(d))。また式(5)に付加して $\kappa KT_0/K' \geq Q \geq \kappa K(T_0 - T)/K'$

3. 実験的考察 豊浦標準砂を水槽内に高さ40cm、幅23cm、長さ315cmに詰めた模型地盤E作表面に設けたクリークに注水し、砂内部に埋め込んだビニル管の水面を観測した。実験の種類は



クリークが半円形(半径5cm), 梯形(高さ4cm, 上面12cm, 深さ4cm), 線状のものなどにつき, Q , H , クリーフの位置を変えた場合などである。図-2の記録値は前回解析で Q と h とが比例関係にあるという結果を考慮して, h/Q ~ x の関係をプロットしたものである。これから実験値は複数の場合にも

$$\frac{h}{Q} \propto e^{-\alpha x} \quad i.e. \quad h = H e^{-\alpha x} \quad (9)$$

で表わされることがわかる。ただし $\alpha = 5.0 \times 10^{-3} \text{ cm}^{-1}$ 。また実験装置では有限距離で一定水位に保たれているので、映像法を適用しなければならない。図-2の実験が適用結果である。さて理論式(4), (6), (7)は実験値とかなりはずれてくる。明らかに、理論値は地盤が半無限均質地盤であるが、実験では有限深さに不透水層があることより実験では毛管帯の影響が大きく作用していることが原因と考えられる。一方 $Q \sim \sqrt{A}$ (A :水路の断面積) の関係を整理すると、図-3のように比例関係があり、 Q/H は約 0.5 以上必要となる。これは式(5)の $Q/k(T_b - T)$ の下限を示す $\frac{2K}{K'} = 0.604$ ($k = 0.0218$) に対応する。

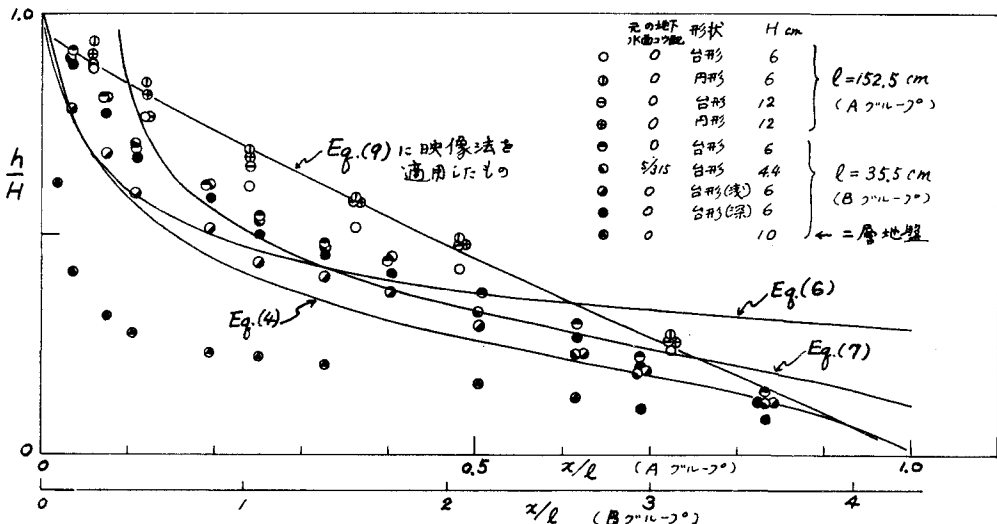


図-2

さて、現実の地盤ではじく表層部は下層より透水係数が小さいのが常である。上述の標準砂地盤 ($k = 2.34 \times 10^{-2} \text{ cm/sec}$) の表層 5 cm の部分にシルト分を混入して透水係数を小さくした ($k = 3.32 \times 10^{-6} \text{ cm/sec}$) 2 層系を設けた場合につき実験した結果も、図-2に示す。明らかに元地下水水面が低透水性表層以下にあるときは、同一流量に対する水面の上昇量は均質地盤のときより小さい。以上考察から得られた結論は(i)半無限均質地盤上に設けたクリークによる地下水位の上昇は理論的には式(4), (6), (7)などと表わされるが、室内実験結果によれば毛管帯などの影響で理論値よりも高くなる。(ii)表層が透水性の低い地盤では元下面の位置によるが、均質の場合より水位上昇は少ない。

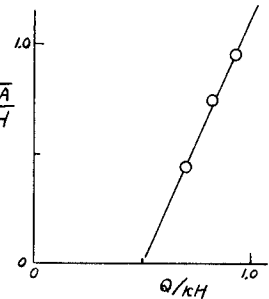


図-3